

I-54 線荷重による平板の初期降伏ヒンケについて

正員 宝蘭工業大学 能町純雄

1. はじめに 先の大会で最大主曲げモーメントがその附近で抛物線分布をなすとき、初期降伏ヒンケ周辺の応力分布が平板内にどのようになるかを解析し、初期降伏ヒンケと最大主曲げモーメントが降伏モーメントを超過した中との間にある一定の比になつた時、曲げモーメント分布が安定することを理論的に証明したが、平板に線荷重が作用する場合その直下では曲げモーメントの分布は抛物線とみなすことができる。即ち荷重直下に頂点を有する三角形状分布となる。このような場合にも安定降伏ヒンケ長といふものが存在するかどうかを検討したものである。

2. 假定 初期降伏ヒンケ発生の条件として最大主曲げモーメント説

$$\frac{M_x + M_y}{2} \pm \frac{1}{2} \sqrt{(M_x - M_y)^2 + 4M_{xy}^2} \leq M_p \quad (1)$$

をとる。次に周辺と同じ境界条件を有する矩形板を考える、この上には中心直下に平行な元、y座標の原点を設け y = 0 に沿う線荷重を假定する。そしてこの荷重強度が増加して半径 x = 0 に沿うて原点を中心とする初期降伏ヒンケが生じたと考える。この場合 x 方向剪断力は x = 0 で消失し、降伏ヒンケを除いては x = 0 の slope が零になる。

3. 理論解式 板のタクミを $w^{(1)}$, $w^{(2)}$ と 2 つに分けを考える。 $w^{(1)}$ はこの板に降伏ヒンケが生じたための附加タクミを表わす。 $w^{(2)}$ はこの板に降伏ヒンケが生じないと考えた場合の与えられた境界条件と荷重状態を満足する普通の板のタクミである。降伏ヒンケ発生後の板のタクミを w , x 方向曲げモーメント M_x , 全剪断力を S_x とすれば

$$w = w^{(1)} + w^{(2)}, \quad M_x = M_x^{(1)} + M_x^{(2)}, \quad S_x = S_x^{(1)} + S_x^{(2)}, \quad (2)$$

釣合の式は

$$N \Delta^2 w^{(1)} = q, \quad \Delta^2 w^{(2)} = 0, \quad (3)$$

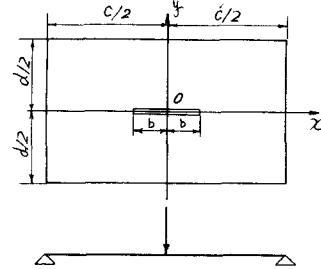
N は板の曲げ剛さ, q は荷重分布。題意によつて M_x の最大値が $x = 0$ の線に沿うて $y = 0$ で頂点となるように分布し、この位置で x 方向剪断力 $S_x^{(1)}$ は 0 で $S_x^{(2)}$ も 0 であるから

$$S_x^{(1)} = -N \left(\frac{\partial^3 w^{(1)}}{\partial x^3} + \frac{\partial^3 w^{(2)}}{\partial x \partial y^2} \right) = 0, \quad (x=0) \quad (4)$$

次に降伏ヒンケ上で M_x は降伏モーメント M_p を超すことができないから

$$M_x|_{x=0} = M_x^{(1)} + M_x^{(2)}|_{x=0} = M_p, \quad |y| \leq b, \quad (5)$$

$M_x^{(1)}$ の $x = 0$ に沿う分布 $y = 0$ の中央直下で最大となるピ-ノ状の形であるから降伏ヒンケの長さ $2b$ が小さい時はその分布を $2b$ 内で直線変化と見做すことができる。したがつて

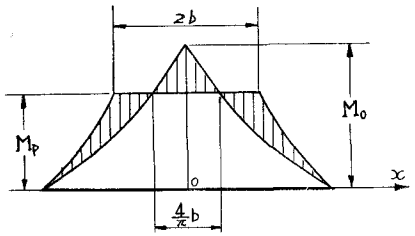


$M_x^{(1)}$ の最大値を M_o とすれば (図、2 参照)

$$M_x^{(1)} = M_o - B\left(\frac{y}{b}\right), \quad |y| \leq b$$

故に

$$\begin{aligned} M_x^{(2)} &= -N\left(\frac{\partial^2 w}{\partial x^2} + y \frac{\partial^2 w}{\partial y^2}\right)_{x=0} = \\ &= M_p - M_o + B\left(\frac{y}{b}\right), \quad |y| \leq b, \end{aligned} \quad (6)$$



また板の x 方向の slope は降伏ヒンジ以外では 0 で。

$$\therefore \left(\frac{\partial w}{\partial x}\right)_{x=0} = \left(\frac{\partial w^{(1)}}{\partial x}\right)_{x=0} = \left(\frac{\partial w^{(2)}}{\partial x}\right)_{x=0} = 0, \quad |y| \leq b, \quad (7)$$

w''' は (3) と (4) から

$$w''' = \int_0^\infty A e^{-\lambda x} \cos \lambda y d\lambda \quad (8)$$

A は (8) と (7) から次のよう) 表わされる。

$$\begin{aligned} N \int_0^\infty A (1-y) d^2 \cos dy d\lambda &= M_o - M_p - B\left(\frac{y}{b}\right), \quad |y| \leq b \\ \int_0^\infty A d \cos dy d\lambda &= 0 \quad |y| \geq b \end{aligned} \quad (9)$$

上式は Dual の積分方程式式¹²で、

$$\begin{aligned} A \lambda^2 &= \frac{M_o - M_p}{N(1-y)} \chi \left[J_0(b\lambda) + b\lambda \int_0^1 \frac{1}{3} J_1(b\lambda) d\lambda \right] \\ &\quad - B \lambda \frac{3}{4} \left[J_0(b\lambda) + b\lambda \int_0^1 \frac{1}{3} J_1(b\lambda) d\lambda \right], \end{aligned} \quad (10)$$

これを代入して $M_x^{(2)}|_{x=0}$ に代入する式は

$$\begin{aligned} M_x^{(2)} &= \begin{cases} M_p - M_o + B\left(\frac{y}{b}\right), & |y| \leq b \\ (M_o - M_p - \frac{2B}{\pi}) \left(1 - \frac{4}{\sqrt{y^2 - b^2}}\right) \\ \quad - \frac{2B}{\pi} \left(\frac{4}{b} \sin^{-1} \frac{b}{y} - 1\right), & |y| \geq b \end{cases} \end{aligned} \quad (11)$$

$M_x^{(2)}|_{x=0}$ の分布は連続でなければならぬとすれば $|y| \geq b$ の式中不連續を表わす項は 0 となるべきである。故に。

$$M_o - M_p - \frac{2B}{\pi} = 0, \quad B = \frac{\pi}{2} (M_o - M_p),$$

したがつて

$$M_x = \begin{cases} M_p & |y| \leq b \\ M_p + (M_o - M_p) \left(\frac{4}{b} \sin^{-1} \frac{b}{y} - 1\right) & |y| \geq b \end{cases} \quad (12)$$

この式は降伏ヒンジが $2b$ だけ生じた場合、荷重による弾性的最大主曲げモーメントが降伏モーメント M_p を $4/\pi \cdot b$ に凌ぐて超過することを示す。